



Vista general de la costa E de ONS, desde el barco-taxi que hace la travesía Portonovo-Ons.



Espesor de las dunas sobre el substrato granodiorítico de la Lanzada. AH-1α.



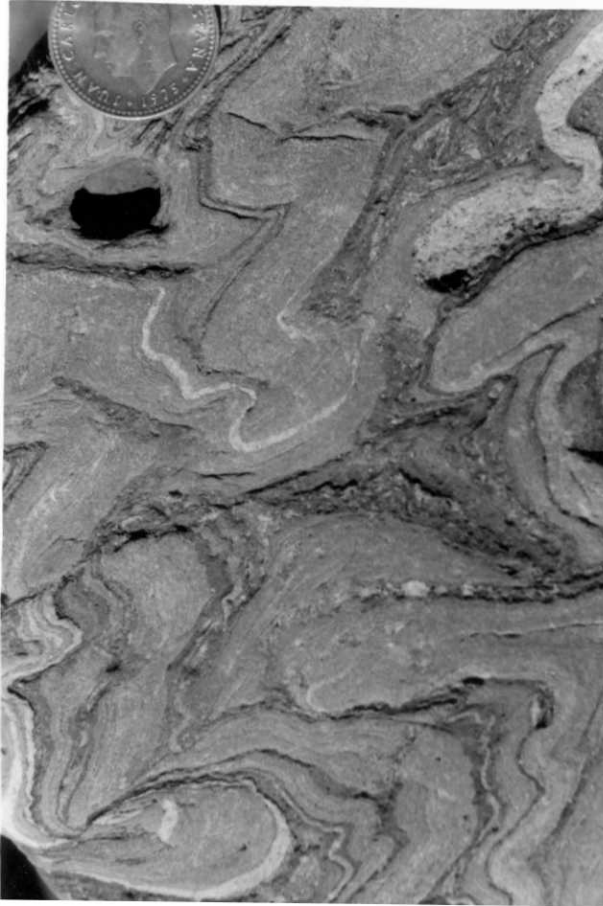
Playa de arenas silílicas de grano fino y asomo de metasedimentos enclavado en la granodiorita tardía de la Ensenada de Castañeira. HH-6.



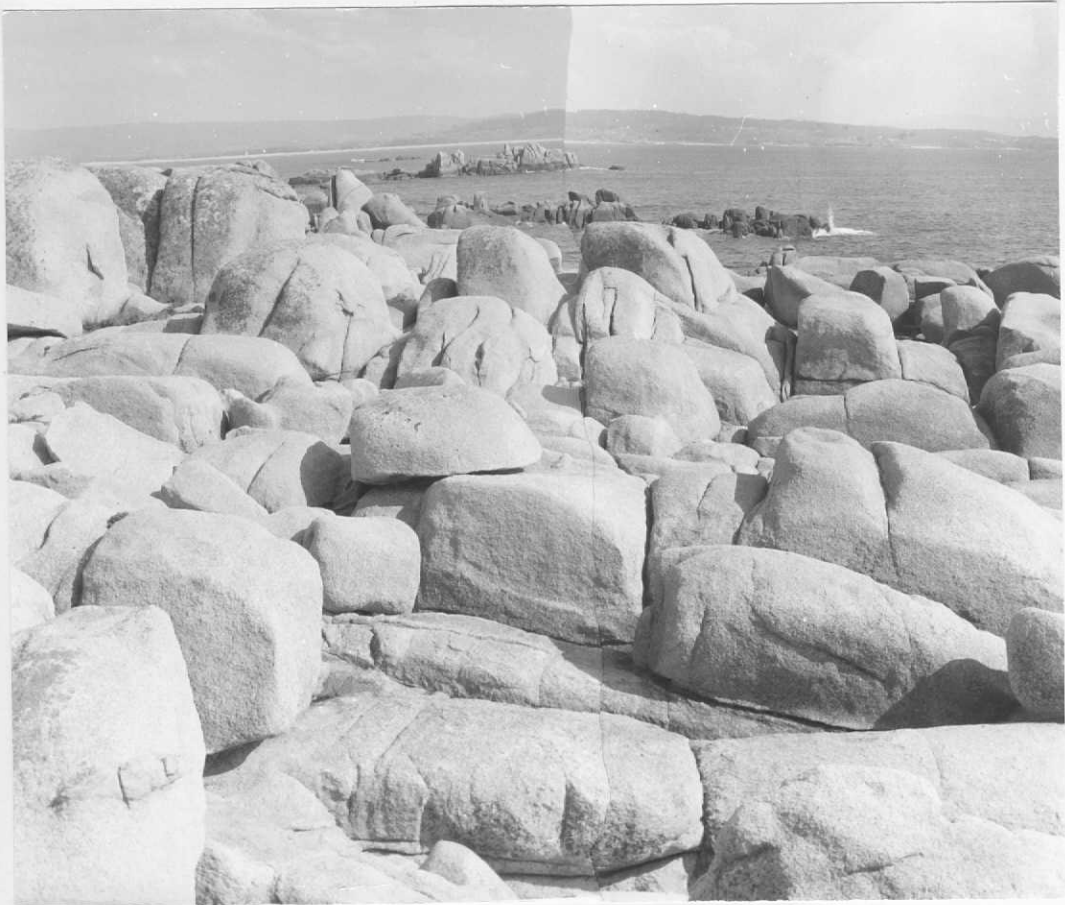
Suelos de alteración perfectamente gradados y coluviones en la zona centro oriental de la isla. Estación AH-45.



Pliegues de  $F_2$  al S de Punta Fagilda (NW de Portonovo). AH-33α.



Detalle de los pliegues *disarmónicos* de la serie detrítica alternante del complejo cabo d'Home la Lanzada al Sur del santuario de N.S. de la Lanzada. Estación AH-1b.



Diclasado vertical en dos sistemas ortogonales. Granodiorita tardía de punta  
Abelleira. AH-6a.



Discordancia erosiva entre las dunas y los esquistos negros de Montalvo. AH-33b.



Pliegue casi vertical al S de Punta Fagilda (NW de Portonovo). Serie de esquistos negros. AH-33c.



Punta Abelleira. Sistema de diaclasas en la granodiorita tardía. AH-6b.



Disyunción planar por diaclasas de descompresión, de la granodiorita y playas cuarzosas del litoral oriental de la isla. Estación. AH-49.



Panorámica de la vertiente Norte y Noroeste de la isla Ons. Estación AH-46.

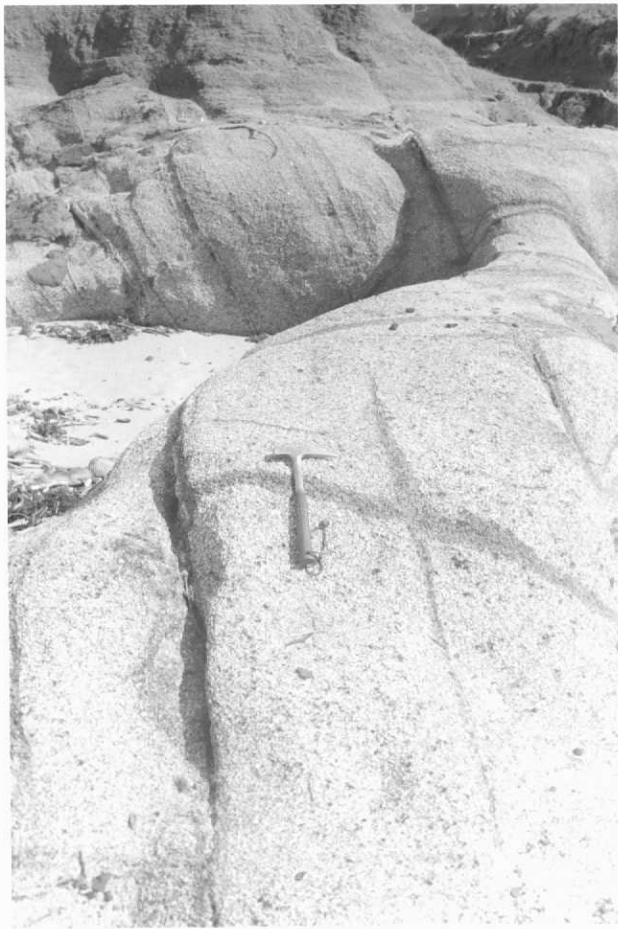


Disyunción y redes de diaclasas de la granodiorita de Sálvora. Estac. AH-49a.



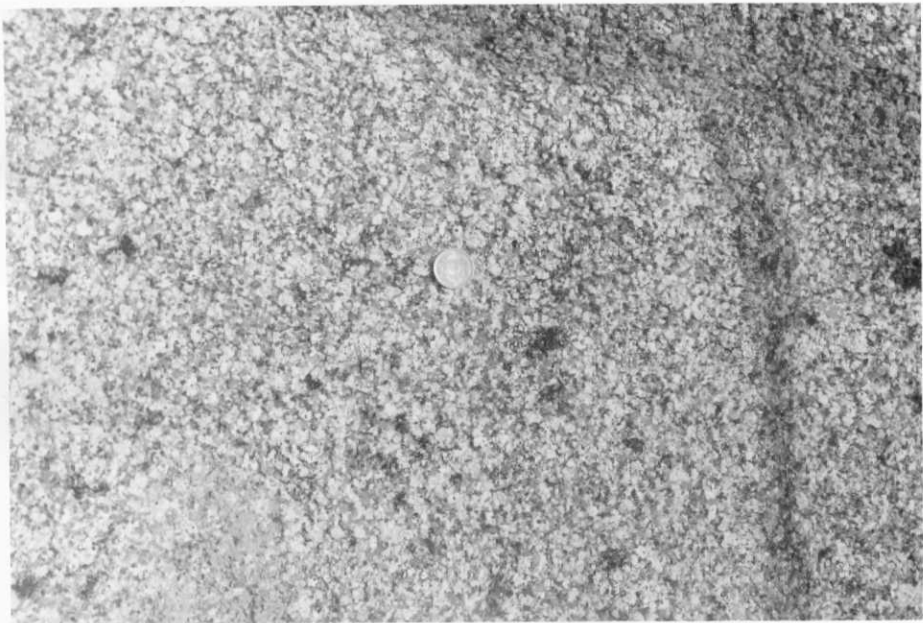
Detalle de un pequeño enclave de esquistos en la granodiorita AH-1c.

Oxidaciones aparecidas en las diaclasas  
de la granodiorita. AH-1d.

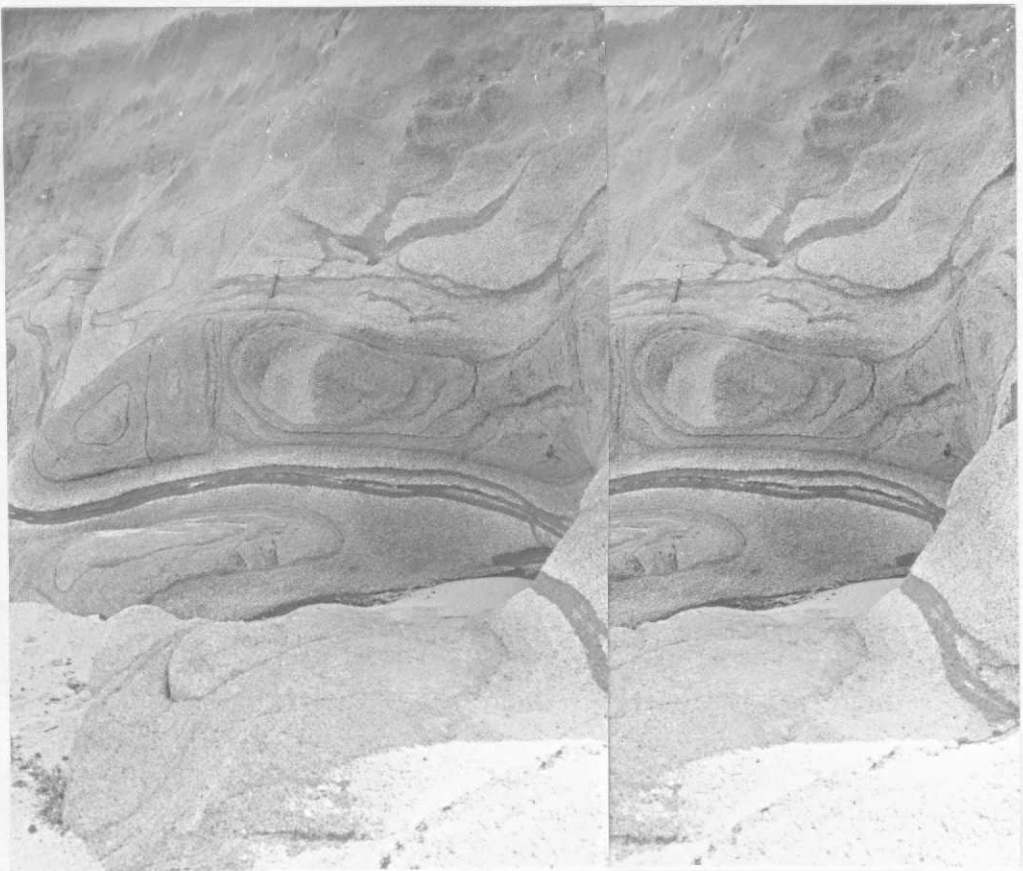




Détalle de un pequeño enclave paralelepípedo esquistoso. AH-1e.



Aspecto de detalle de la granodiorita granuda de la Lanzada. AH-1f.

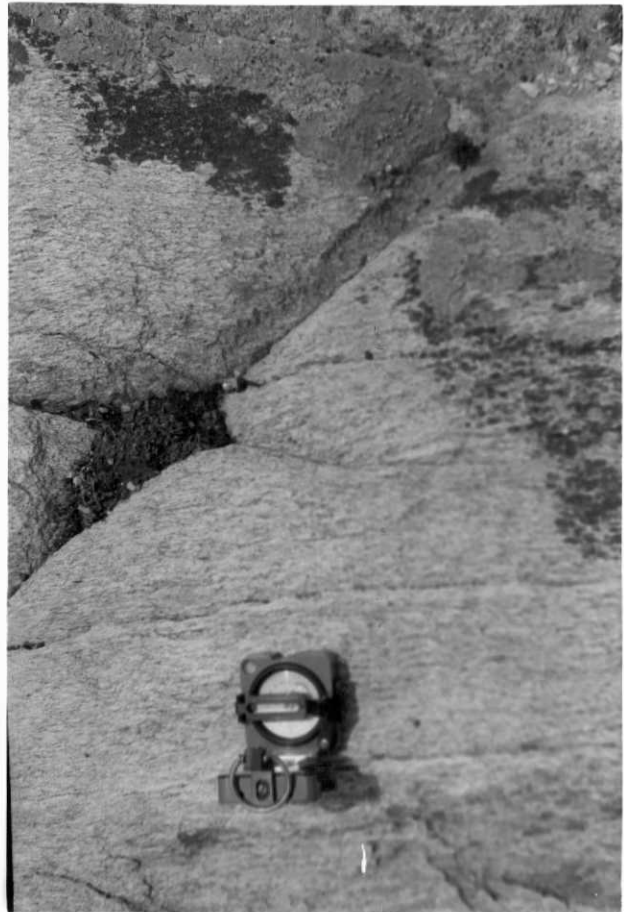


Detalle estereoscópico de las figuras de oxidación en la granodiorita de la Lanzada. AH-1 g.



Curiosas figuras de oxidación en la granodiorita de la Lanzada. AH-1h.

Granito de dos micas fuertemente orientado  
Isla de Ons. Estación AH-47.





Detalle de las formas en la granodiorita tardía del islote de Novo. Estación AH-50c.



Crestones esquistosos, en parte asimilados, mostrando un fuerte repliegue de fase 2.  
Zona del faro. Isla de Ons. Estación AH-46α.



Aspecto panorámico de la isla de Sálvora desde la zona del islote de Novo (NE de la isla) Estación AH-50.



Repliegues de flanco normal hacia la derecha de la fotografía en las proximidades del faro de la isla de Ons. Estación AH-46b.



Bandas esquistosas de poca potencia, intruidas, y formando restitas, por el granito de dos micas muy deformado del faro de Ons. EStación AH-46c.



Bandeado en las fajas esquistosas próximas al muelle. Isla de Ons. Estación AH-47a.



De nuevo bandas melano y leucocráticas en el granito de dos micas de Ons.  
Estación AH-45α.



Granito calcoalcalino, biotítico con bandas  
más leucocráticas y algunos megacristales.  
Estación AH-44. (ONS).

9044



Dique aplítico en la zona del muelle de Sálvora. Estación AH-45**b**.



Detalle textural de la granodiorita de Sálvora. EStación AH-48.



Cantera y areneral al N de la Lanzada las canteras explotan la granodiorita y las areneras arenas de dunas. AH-16.



Cantera de granito (granodiorita de Caldas) con fines ornamentales. Zona de La Lanzada.  
Estación AH-16a.



Detalle de las formas redondeadas en la granodiorita del islote de Novo (Sálvora).  
Estación AH-50a.



Islote de Novo (Sálvora) de granodiorita tardía. AH- 50)b.



Playa de Pocinás. Arenas de dunas con un nivel basal ferruginoso. AH- 32.



Gravas basales en las dunas y playas levantadas de playa de Montalvo.  
AH-33.



Panorámica de las dunas y aluviones de Roxique (S de Grove). AH-27.



Playa de N.S. de la Lanzada con asomos metasedimentarios enclavados en la granodiorita tardía de Caldas de Reyes. AH-1.